

中国科学院海洋研究所编辑

海洋科学集刊

STUDIA MARINA SINICA

Institute of Oceanology, Chinese Academy of Sciences

37

科学出版社

1996年10月



《海洋科学集刊》编辑委员会

主 编 秦蕴珊

副主编 李光友 董金海

编 委 (按姓氏笔画为序)

方国洪 王 荣 刘瑞玉 刘发义 李新正
李乃胜 张培军 范 晓 周名江 赵松龄
赵进平 相建海 侯 翠 侯保荣 阎 军
龚德俊 焦念志 翟世奎

海 洋 科 学 集 刊

第 37 集

中国科学院海洋研究所 编辑

科 学 出 版 社 出 版

北京东黄城根北街 16 号

邮政编码：100717

中国科学院印刷厂 印刷

新华书店北京发行所发行 各地新华书店经售

*

1996 年 10 月第 一 版 开本：787×1092 1/16

1996 年 10 月第一次印刷 印张：13 3/4 插页：3

印数：1—750 字数：322 000

ISBN 7-03-005340-4/P·908

定价：68.00 元

ISBN 7-03-005340-0



9 787030 053404 >



登录号	096700
分类号	P7-55
种次号	001

海洋科学集刊 第37集

(1996年10月)

目 录

SYTB/17

- 热带西太平洋暖池域次表层水热含量变化及其与我国东部汛期降水和副高的
相关关系 翁学传、张启龙、颜廷壮 (1)
东海北部冷涡海域夏季水文结构及涡动混合的研究 蓝淑芳 (11)
冬季中纬度海气相互作用与长江中下游汛期旱涝预测
..... 赵永平、陈永利、贾瑞丽 (19)
胶州湾溢油污染研究 吴永成等 (25)
南黄海海水中悬浮体垂向分布类型及跃层 李凡、丁宗信 (33)
粒度标(GSL)和氧化还原度(ROD)在渤海南部海域沉积物环境研究中的应用
..... 宋金明、李鹏程 (43)
利用穆斯堡尔谱对普碳钢在海洋各腐蚀区锈层的研究
..... 李言涛、侯保荣、李久青 (51)
中国常见褐藻的多酚含量测定 严小军 (61)
褐藻多酚合成的模拟研究 严小军等 (67)
新鲜海带中碘的含量与分布 王孝举、娄清香、严小军 (73)
中国对虾三倍体诱导的研究 林峰、蔡难儿 (79)
青岛湾有机质污染潮间带底栖生物研究 II 小型底栖动物生态特点
..... 党宏月、黄勃、张志南 (91)
胶州湾底栖生物动态的研究 孙道元、张宝琳、吴耀泉 (103)
三苯基氯化锡对等鞭金藻生理功能的影响 李正炎等 (115)
三苯基氯化锡对等鞭金藻细胞超微结构的影响 李正炎等 (121)
三苯基氯化锡对海洋微藻群落结构的影响 李正炎等 (125)
胶州湾中国对虾资源的生态特征 吴耀泉、张宝琳、孙道元 (131)
黑鲷对Ca, P, K, Mg 和 Mn 的营养需求 李荷芳等 (135)
黑鲷对Fe, Zn, Cu, Co和I 的营养需求 王辉亮等 (143)
渤海鱼类群落个体数指标时空格局的因子分析 朱鑫华 (163)
美丽海葵属三新种 裴祖南 (177)
国外仔稚鱼营养研究概况 刘镜格、周利 (189)
海洋无脊椎动物幼体定居过程影响因子的研究进展 刘恒 (195)



200537035

00876155

STUDIA MARINA SINICA, No. 37

(Oct., 1996)

CONTENTS

- Variation of the Subsurface Water Heat Content in the Tropical Western Pacific Warm Pool Area and Its Relation to Precipitation in Eastern China and to the Western Pacific Subtropical High.....
..... Weng Xuechuan, Zhang Qilong and Yan Tingzhuang (9)
- Study on the Hydrological Structure and the Turbulent Mixing Near the Cold Eddy Sea Area in the Northern East China Sea in Summer.....
..... Lan Shufang (18)
- Air-Sea Interaction in the Mid-Latitude in Winter and Prediction of Flood and Drought in the Middle and Lower Reaches of Changjiang River Zhao Yongping, Chen Yongli and Ja Ruili (24)
- Prediction for Oil Slick Pollution in Jiaozhou Bay
..... Wu Yongcheng *et al.* (31)
- Vertical Distribution Patterns of Suspended Matter and Near Bottom Turbid Water Layer in the South Yellow Sea
..... Li Fan and Ding Zongxin (42)
- Grain Size Label (GSL) and Redox Degree (ROD) in the Study on Sediment Environments of Southern Bohai Sea
..... Song Jinming and Li Pengcheng (50)
- Study of Rust Layers Formed on Carbon Steel in Various Corrosion Zones in Marine Environment by Mössbauer Effect
..... Li Yantao, Hou Baorong and Li Jiuqing (59)
- Quantitative Determination of Phlorotannins From Some Chinese Common Brown Seaweeds Yan Xiaojun (65)
- Studies on Synthesis Simulation of Phlorotannins Yan Xiaojun *et al.* (71)
- Contents and Distribution of Iodine in Fresh *Laminaria japonica*
..... Wang Xiaoju, Lou Qingxiang and Yan Xiaojun (77)
- Triploidy Induction in *Penaeus chinensis* Lin Feng and Cai Naner (89)
- Study on Marine Benthos in an Organically Polluted Intertidal Beach of Qingdao Bay II. the Pollution Ecology of Meiobenthos
..... Dang Hongyue, Huang Bo and Zhang Zhinan (101)
- A Study on Macrofaunal Infauna in the Jiaozhou Bay
..... Sun Daoyuan, Zhang Baolin and Wu Yaoquan (114)
- Effects of Triphenyltin Chloride (TPTC) on Physiology of *Isochrysis galbana* Cells Li Zhengyan *et al.* (120)
- Ultrastructural Damage of *Isochrysis galbana* Cells by Triphenyltin Chloride (TPTC) Li Zhengyan *et al.* (123)
- The Effects of TPTC on Structural Variation of Marine Microalgae Community Li Zhengyan *et al.* (130)
- Ecological Characteristics of *Penaeus chinensis* Resources in Jiaozhou Bay Wu Yaoquan, Zhang Baolin and Sun Daoyuan (134)
- Requirements of *Sparus macrocephalus* for Ca, P, K, Mg and Mn Li Hefang *et al.* (141)
- Requirements of *Sparus macrocephalus* for Fe, Zn, Cu, Co and I Wang Huiliang *et al.* (150)
- Induced Sex Reversal of Black Sea Bream, (*Sparus macrocephalus*)
..... Ruan Hongchao, Wu Guangzong and Huang Ruidong (161)
- Spatiotemporal Patterns of Fish Community in Bohai Sea Using Factor Analysis of Individual Number Indicators Zhu Xinhua (175)
- Three New Species of the Genus *Callicaris* Pei Zunan (186)
- International Outline in Nutrition Research for Fish Larvae
..... Liu Jingke and Zhou Li (194)
- A Review on Factors Affecting the Settlement of Planktonic Larvae, Particularly Decapod Crustaceans Liu Heng (197)

热带西太平洋暖池域次表层水热含量 变化及其与我国东部汛期 降水和副高的相关关系*

翁学传 张启龙 颜廷壮
(中国科学院海洋研究所)

热带西太平洋暖池是太平洋中海气相互作用最活跃的海区之一，它在全球气候变化中起着极为重要的作用。

热带西太平洋暖池幅员广阔，占全球热带海洋面积的 35—45%。它是全球大洋表面水温 (SST) 最高的海域，其 SST 终年都高于 28°C。Andow (1987) 的研究表明，暖池域次表层(50—300m)海水温度的变化较表层明显，其年际变化的标准偏差可达 3—4°C。邹娥梅等(1991)指出，热带西太平洋海域次表层海水的热状况具有较好的指标性。因此研究热带西太平洋暖池域次表层水热状况的变化，对于阐明热带西太平洋暖池与东亚气候异常，特别是对我国旱涝的影响具有重要意义。

一、暖池域次表层水热含量场的时空特征

1. 资料和分析方法 本文选用位于暖池西侧的 137°E 断面 3—17°N 范围(即北赤道逆流和北赤道流域)内的 50—300m 层(观测层次分别为 50m, 75m, 100m, 125m, 150m, 200m, 250m, 300m)水温资料，建立了冬(1967—1991 年的 1 月)、夏(1972—1991 年的 7 月)两季次表层水的热含量场。其中，次表层水单位体积热含量是按下式计算的，即

$$Q_{ij} = C_p \cdot \rho \cdot T_{ij}$$

式中， Q_{ij} ——第 i 年第 j 站层海水单位体积热含量($i = 1, 2, 3 \dots m, j = 1, 2, 3 \dots n$)，
其中，

$$m = 25 \text{ (冬季)} \text{ 或 } 20 \text{ (夏季)}, n = 120.$$

C_p ——海水定压比热， ρ ——海水密度， T_{ij} ——第 i 年第 j 站层海水单位体积的平均温度。

为简便计，将 $C_p \cdot \rho$ 视为 1。本文采用自然正交函数 (EOF) 分析法，对热带西太平洋暖池域次表层水热含量距平场进行分解，探讨其时空变化特征。

* 中国科学院海洋研究所调查研究报告第 2440 号。本课题为中国科学院 KYSS-10 项目
收稿日期：1994 年 11 月 25 日。

2. 暖池域次表层水热含量场前3个特征向量场的时空特征 由表1可以看出,冬、夏两季前5个特征向量场的方差贡献累积百分比已超过74%,这表明其收敛速度较快,其中夏季又比冬季略快。因此本文着重阐述前3个特征向量场的时空特征。

表1 次表层水热含量场前5个特征向量场方差贡献累积百分比(%)

特征向量场	1	2	3	4	5
冬季	45.9	57.8	64.6	70.2	74.3
夏季	42.7	54.4	63.7	71.1	76.0

(1) 第一特征向量场的时空特征:冬季第一特征向量场的空间特征(图1a)主要是全域皆为正值。其中,高值区(>0.10)位于断面中部($6\text{--}14^\circ\text{N}$),而断面南、北两侧以及 10°N 附近的200m以深处特征值偏低。高值区内等值线呈封闭状分布,高值中心(>0.12)位于 9°N 附近的100m处。这种分布趋势表明,全域次表层水热含量的变化趋势一致,其中变化最显著的区域位于逆流槽区(9°N 附近的75—125m层)。这是由于北赤道逆流和北赤道流的相互作用,在该区经常形成暖水辐聚下沉或深层低温水涌升导致的。由于第一特征向量场的方差贡献较大(45.9%),因此该向量场是反映热带西太平洋暖池域次表层水热含量场的主要变化,即大尺度海气系统的异常,这可从该型时间系数的年际变化特征(图1a)得到佐证。由图可见,该型时间系数的年际变化与大尺度海气系统异常有较好的对应,即其大的负值(1969, 1973, 1977, 1980/1981, 1983, 1987, 1991)大致与厄尔尼诺事件相对应;大的正值(1971, 1974, 1976, 1984, 1989)则对应于反厄尔尼诺事件。时间系数的最大熵谱分析结果表明,它具有明显的3.6年和2.5年变化周期(显著性周期检验水平 α 取为0.05,下同)。

夏季第一特征向量场的主要特征(图略,下同)与冬季相似,全域亦皆为正值。高值区(>0.12)位于 $5\text{--}11^\circ\text{N}$ 间的75—200m层,区内等值线呈封闭状分布;高值中心(>0.13)位于 7°N 附近的100—125m处,较冬季偏南约2个纬度。高值区两侧($3\text{--}5^\circ\text{N}$ 和 $11\text{--}17^\circ\text{N}$)特征值偏低,等值线大致呈垂直分布,且梯度略大。这种分布特征表明,夏季暖池域次表层水热含量的变化趋势与冬季相似,其变化最显著的区域也在逆流槽附近。从该型的方差贡献(42.7%)来看,它大致反映了夏季次表层水热含量的主要变化,即大尺度海气系统的异常。该型时间系数的年际变化与厄尔尼诺和反厄尔尼诺事件也有较好的呼应,时间系数大都在厄尔尼诺事件期间出现大的负值,而大的正值大致与反厄尔尼诺事件相对应。利用最大熵谱分析该型时间系数发现,它存在十分明显的4.9年和2.1年的周期变化。

综合分析第一特征向量场的时空特征不难看出,冬、夏季暖池域次表层水热含量场随大尺度海气系统异常变化而波动。在厄尔尼诺事件期间,热带西太平洋暖水向东输送增强,深层低温水涌升,导致暖池两侧(137°E 断面,下同)海域次表层水热含量减少,热含量距平场为负。反之,在反厄尔尼诺事件期间,暖水在热带西太平洋堆积,使暖池西侧海域次表层水热含量增大,热含量距平场为正。就研究海域来说,热含量变化最显著的区域位于逆流槽,所以该区是研究热带西太平洋次表层水热状况的关键区,也是热带西太平洋反

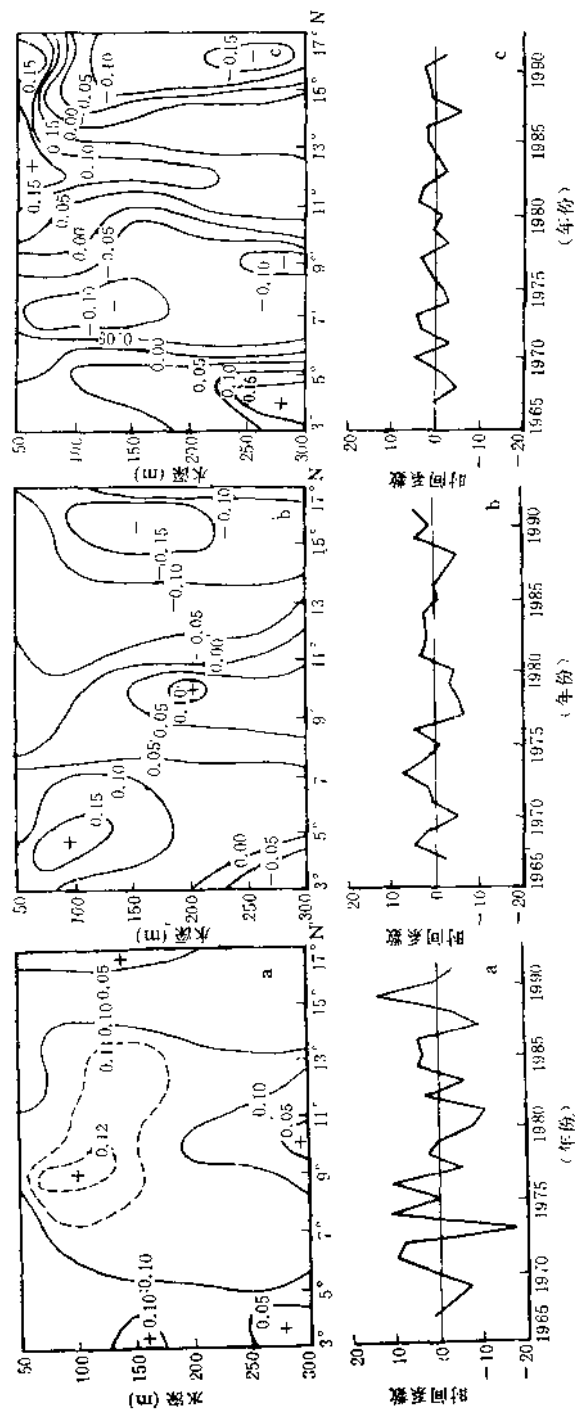


图1 冬季暖池域次表层水热含量场前3个特征向量场及其相应的时间系数
a. 第一特征向量场和时间系数; b. 第二特征向量场和时间系数; c. 第三特征向量场和时间系数

映大尺度海气系统异常的敏感区。值得指出的是，冬季第一特征向量场时间系数准 2 年和 3.6 年变化周期的揭示是很有意义的。因为前者与我国东部降水的准 2 年周期相合(赵汉光, 1986), 而后者又与副高的 3.5 年主振荡周期相近(符淙斌等, 1977)。这为本文后半部分探讨冬季暖池域次表层水热含量场主要型与我国东部汛期降水和副高的关系提供了依据。

(2) 第二特征向量场的时空特征: 冬季第二特征向量场的空间特征与第一特征向量场迥然不同, 全域大体可以位于 $8\text{--}11^{\circ}\text{N}$ 间、且随深度呈自南向北下倾之势的零值线为界划分为南、北两部分(图 1b)。南侧部分除 $3\text{--}4^{\circ}\text{N}$ 的 200m 以深存有一范围极小的负值区外, 均为正值; 北侧部分全为负值。正高值中心(>0.15)位于 5°N 的 100m 层附近, 负高值中心(<-0.15)位于 16°N 的 150m 处。对照热带太平洋流系分布表明, 第二特征向量场的空间特征实际上反映了冬季热带太平洋北赤道逆流和北赤道流这两大流系对次表层水热含量场的影响是相反的。该型时间系数年际变化的主周期为 8.1 年, 此外 2.6 年的变化周期也较明显。

夏季第二特征向量场的主要特征是断面南($<8^{\circ}\text{N}$)、北($>15^{\circ}\text{N}$)两侧为正值区; 中部除 10°N 附近的 100m 层以浅存有小范围正值外, 全为负值区; 零值线分别分布于 $6\text{--}8^{\circ}\text{N}$ 和 $14\text{--}15^{\circ}\text{N}$ 间。南、北两侧正高值中心的特征值都大于 0.15, 分别位于 3°N 的 300m 和 15°N 的 150m 处。这种分布趋势与冬季一样也大致反映了夏季北赤道逆流和北赤道流对热含量场变化所起的作用是相反的。至于断面北侧的正值区, 则是北赤道流北界摆动引起的热含量的变化。该型时间系数的最大熵谱分析表明, 第二特征向量场的年际变化以 12.1 年周期为主。此外 2.4 年的周期变化也较显著。

(3) 第三特征向量场的时空特征: 冬季第三特征向量场的空间特征较特殊, 全域出现两个正值区和两个负值区, 而且自南向北正、负值区相间排列(图 1c)。这表明冬季热带太平洋北赤道逆流和北赤道流流系内部热含量场变化不一致, 也就是说, 冬季这两大流系的主轴区与其边缘处次表层水热含量的变化是不同的。由于该型的方差贡献较小(7%), 所以它所反映的冬季两流系内部的变化对热含量场的影响是较小的。由图 1c 可见, 该型时间系数的年际变幅较小, 其主要变化周期为 2.2 年和 3.1 年。

夏季第三特征向量场的主要空间特征是断面南侧为负值区, 北侧除存在 2 个范围极小的负值区外, 都为正值区; 其间的分界线(零值线)自 4°N 的 50m 处向北下倾延伸至 11°N 的 300m 处。这一分布特征大体上反映了夏季北赤道逆流和北赤道流这两大流系内部热含量变化的一致性, 这与冬季的情况不同。该型时间系数的年际变幅偏小, 最大熵谱分析表明, 它具有 2.3 年和 4.1 年周期变化。

二、冬季暖池域次表层水热含量场主要型 与我国东部汛期降水关系

许多研究表明, 热带太平洋的热状况, 特别是 SST 与我国汛期(6—8 月)降水关系密切(陈烈庭, 1977; 黄荣辉等, 1994), 那么热带西太平洋暖池域次表层水热含量变异与我国汛期降水的关系又是如何呢? 为探讨这个问题, 作者用冬季热带西太平洋暖池域次表层

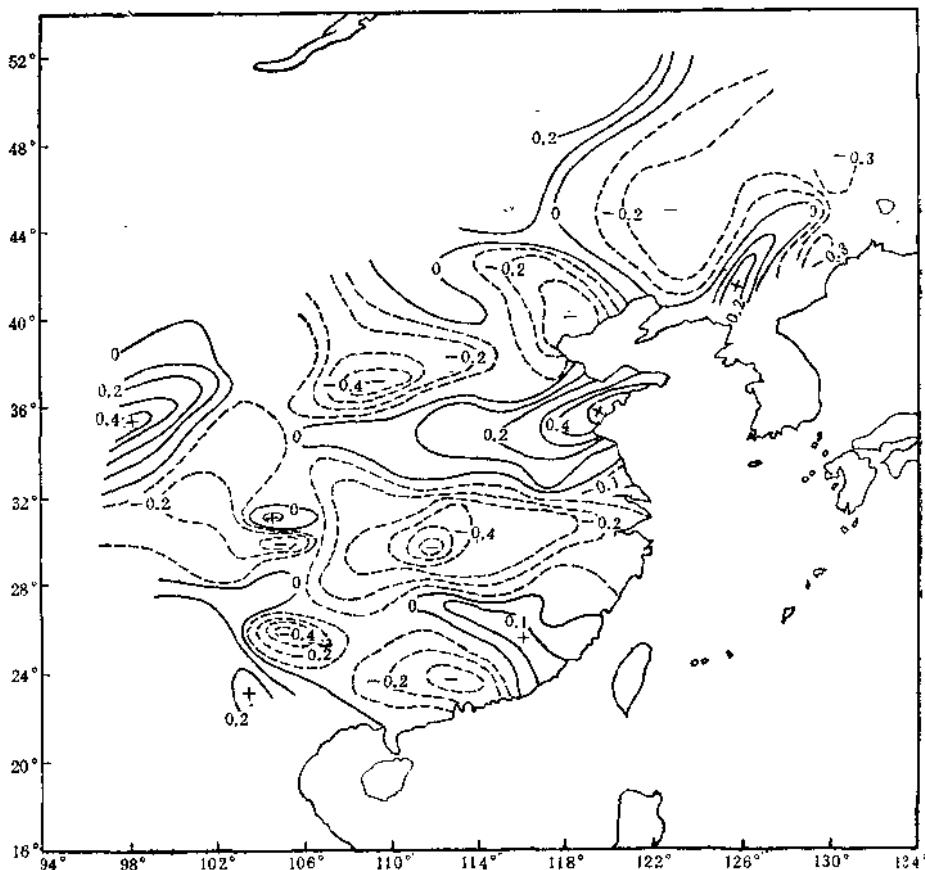


图2 冬季暖池域次表层水热含量场 EOF1 型时间系数与
我国汛期降水的相关系数分布

水热含量场 EOF1 型时间系数与同期(1967—1991) 我国 160 个台站汛期降水距平百分率进行了相关分析。从两者的相关系数分布(图2)可清楚地看出, 我国东部有两个相关系数较高的区域, 即长江中下游负相关区和黄淮正相关区, 这两个区的相关系数绝对值都大于 0.5, 最大值分别为 -0.60 和 0.56, 信度都超过 0.01; 此外, 尚存在着两个相关系数绝对值大于 0.4 的次高值区, 即华北负相关区和华南负相关区, 其最大相关系数分别为 -0.42 和 -0.41, 信度都超过 0.05。如此大范围的高相关区的存在充分说明了两者的相关程度是可信的, 也就是说, 热带西太平洋暖池域次表层水热含量与我国汛期降水确实存在着较密切的关系。

1. 长江中下游区 长江中下游地区降水年际变化较大, 尤其是季节性降水变化更大, 属多旱涝地区。从 1967—1991 年长江中下游区(恩施、常德、宜昌、岳阳、武汉、屯溪、安庆、南京和东台 9 个台站)汛期降水的年际变化趋势(图 3a)看, 该区降水大致可分为两个阶段: 1980 年以前负距平占优势, 1980 年及其以后正距平明显偏多。从图 3 长江中下游汛期降水(a)与冬季暖池域次表层水热含量主要型(c)的年际变化对比中可以看出, 极大多数年份两者具有明显的反向对应关系, 特别是 1969 年、1980 年、1983 年和 1991 年的洪涝及 1972 年、1978 年和 1985 年的干旱都有较好的对应, 只有 1981 年和 1989 年对应

关系略差。最大熵谱分析表明,长江中下游区汛期降水有多个变化周期,其中达到显著性周期检验水平($\alpha = 0.05$)的有11年和2.7年两个变化周期。后者与冬季暖池域次表层水热含量主要型的主周期(2.5年)是一致的。这表明了两者关系的密切性。

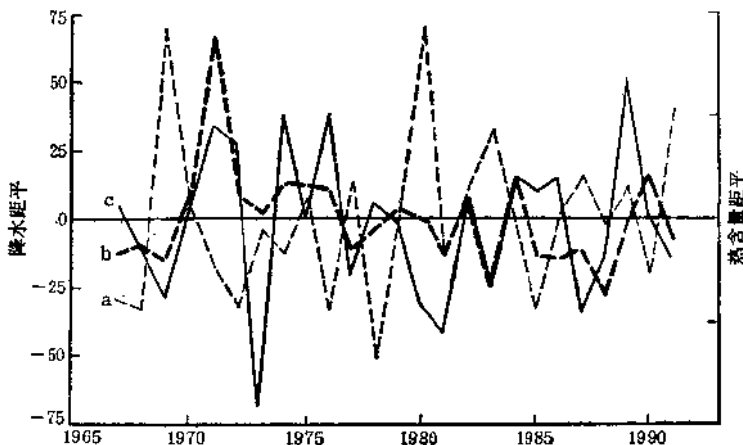


图3 长江中下游(a)和黄淮区(b)汛期降水及冬季暖池域
次表层水热含量场 EOF1 型时间系数(c)年际变化

2. 黄淮区 黄淮区的降水既不属于华北雨带,也不属于江淮雨带,是类似于两者之间的过渡带。黄淮区(南阳、蚌埠、徐州、赣榆、菏泽、临沂、潍坊、青岛和烟台9个台站)1967—1991年汛期降水的年际变化曲线(图3b)表明,该区汛期降水的年际变幅较长江中下游区为小,其变化的总趋势是1980年及其以前以正距平为主导,1980年以后负距平明显偏多,这与长江中下游区降水年际变化趋势恰好相反。从图3中还可以看出,黄淮区降水与冬季暖池域次表层水热含量场主要型(c)间存在着较好的相关关系,两者除1986年以后出现约1年的位相差以外,其余各年都呈同向的对应变化。由最大熵谱分析得出,黄淮区汛期降水的变化周期以2.7年最显著,其次为4.9年,前者与冬季暖池域次表层水热含量场主要型的变化周期(2.5年)是相近的,这进一步表明了两者关系的可靠性。

综上所述可见,冬季热带西太平洋暖池域次表层水热含量与长江中下游和黄淮区汛期降水之间确实存在着较好的相关关系,即冬季次表层水热含量较常年偏多,则长江中下游汛期降水有减少趋势,而黄淮区则有增多趋势;反之亦然。

三、冬季暖池域次表层水热含量场主要型与副高关系

副高是夏半年影响我国天气气候的重要系统,它的位置、强度和持续性与我国东部地区大范围的旱涝有着十分密切的关系,已有的研究表明,热带东太平洋的SST和黑潮海域的热交换对副高的变动有很重要的影响(符淙斌等,1977;黄荣辉等,1994)。为了探索热带西太平洋暖池域次表层水热含量与副高的关系,作者分析了冬季暖池域次表层水热含量场EOF1型时间系数与同期(1967—1991)副高各特征量间的相关关系。

1. 同期关系 分析表明,1967—1991年间冬季暖池域次表层水热含量与副高各特

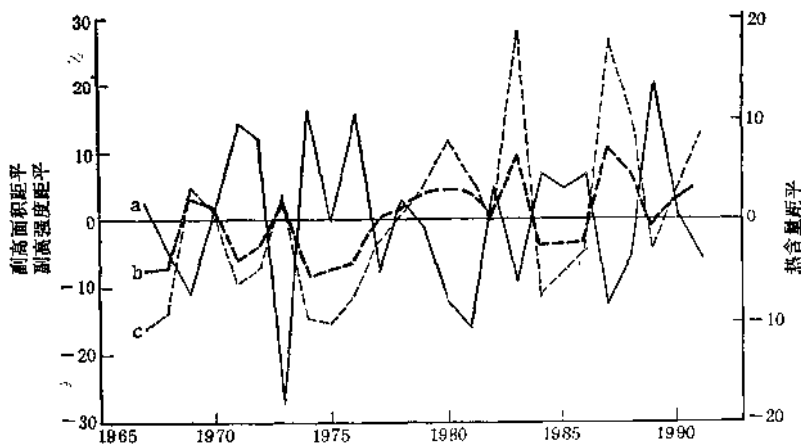


图 4 冬季暖池域次表层水热含量场 EOF1 型时间系数(a)、
副高面积(b)和强度(c)的年际变化

征量的年际变动具有很好的相关关系,其中与副高的面积和强度指数的关系尤为密切(图 4)。由图 4 可以看出,25 年间它们的年际变化具有相反趋势,特别是次表层水热含量较高(低)年与副高面积较小(大)和强度较弱(强)年都有很好对应。两者的相关系数分别为 -0.61 和 -0.59,信度都超过 0.002。最大熵谱分析得出,1967—1991 年间副高面积和强度年际变化的主要周期分别为 3.6 年、4.6 年和 4.6 年、3.6 年,与冬季暖池域次表层水热含量的 3.6 年主要变化周期极为相近,这进一步表明了两者关系的密切性,即当热带西太平洋暖池域次表层水热含量增大时,副高将变弱;而当次表层水热含量减小时,副高将加强。

2. 时滞关系 对 1967—1991 年冬季(1 月)次表层水热含量分别与同期逐年各月副高面积和强度进行时滞相关分析发现,两者良好相关期(信度超过 0.01)分别出现在热含量超前副高面积和强度 1—3 个月和 7—8 个月,最佳相关期出现在热含量超前 3 个月,其相关系数分别达 -0.76 和 -0.73,信度都超过 0.001。由此可见,副高面积和强度的变化与 3 个月前次表层水热含量的关系最密切。也就是说,副高对冬季热带西太平洋暖池域次表层水热含量的变动存在 3 个月的滞后响应,这一结果与符淙斌等(1977)和臧恒范等(1984)得出的结论是一致的。

四、结语

根据以上分析,可以得出以下结论:

(1) 冬、夏季暖池域次表层水热含量场主要型随大尺度海气系统异常而波动。在厄尔尼诺事件期间,热含量场为负距平;在反厄尔尼诺事件期间,热含量场为正距平。热含量变化最显著的区域位于逆流槽。热含量场主要型的变化主周期为准 2 年、3.6 年和 4.9 年。

(2) 冬季暖池域次表层水热含量与我国东部汛期降水存在较好的相关关系。其中,与长江中下游区为负相关,与黄淮区为正相关。

(3) 冬季暖池域次表层水热含量与副高面积和强度具有相反的年际变化趋势，且有相近的变化周期。两者的相关系数相应为-0.61 和 -0.59，信度都超过 0.002。副高对冬季暖池域次表层水热含量的变化存在 3 个月的滞后效应。

本文仅分析了冬季暖池域次表层水热含量与我国东部汛期降水和副高的相关关系，至于其物理过程，尚有待进一步研究。

参 考 文 献

- 陈烈庭, 1977, 东太平洋赤道地区海水温度异常对热带大气环流及我国汛期降水的影响, 大气科学, 1(1):1—12。
邹威梅、王宗山、徐伯昌, 1991, 沿 137°E 断面(1967—1987) 海洋热状况的变化及其与埃尔尼诺事件的关系, 海洋学报, 13(6):753—766。
赵汉光, 1986, 我国降水振荡周期特征的初步分析, 大气科学, 10(4):426—430。
赵永平、陈永利, 1984, 黑潮区域热量收支及其与副热带高压关系的初步分析, 海洋湖沼通报, 1:26—33。
黄荣辉、孙风英, 1994, 热带西太平洋暖池热状况及其上空的对流活动对东亚夏季气候异常的影响, 大气科学, 18(2):141—151。
符淙斌、李克让、陈永申等, 1977, 热带海洋对副热带高压长期变化的影响, 科学通报, 22(7):313—317。
臧恒范、王绍武, 1984, 赤道东太平洋水温对低纬大气环流的影响, 海洋学报, 6(1):16—24。
Andow, T., 1987, Year-to-year variation of oceanographic subsurface section along the meridian of 137°E, *Oceanographical Magazine*, 37(1-2): 47—73.

VARIATION OF THE SUBSURFACE WATER HEAT CONTENT IN THE TROPICAL WESTERN PACIFIC WARM POOL AREA AND ITS RELATION TO PRECIPITATION IN EASTERN CHINA AND TO THE WESTERN PACIFIC SUBTROPICAL HIGH*

Weng Xuechuan, Zhang Qilong and Yan Tingzhuang

(Institute of Oceanology, Chinese Academy of Sciences)

ABSTRACT

The study on the space-time characteristics of the subsurface water heat content fields in the Tropical Western Pacific Warm Pool area showed that the subsurface water heat content fields fluctuate with a large scale abnormal air-sea system. In the study area, the heat content anomaly fields are negative during El Nino events, but positive during La Nina events.

There are relatively close relations between the subsurface water heat content in winter and the precipitation in the middle and lower reaches of the Changjiang River or the precipitation in the Huanghe River-Huaihe River area. When the subsurface water heat contents are higher than normal, the precipitation decreases in the middle and lower reaches of the Changjiang River but increases in the Huanghe River-Huaihe River area, and vice versa.

The subsurface water heat content in winter is of a contrary interannual variation trend to both indexes of area and indensity of the Western Pacific Subtropical High and its variation period is nearly equal to those of both indexes of Subtropical High.

* Contribution No. 2440 from the Institute of Oceanology, Chinese Academy of Sciences.

东海北部冷涡海域夏季水文结构 及涡动混合的研究*

蓝 淑 芳

(中国科学院海洋研究所)

东海北部大陆架上存在着一个较大的冷涡, 近十余年来, 国内、外的海洋学专家依据多年调查所获得的温、盐度及海流资料对此冷涡进行了分析研究, 得出该冷涡终年存在和中心位于 $32^{\circ}00'N, 126^{\circ}00'E$ 附近的结论(毛汉礼等, 1986; 蓝淑芳等, 1984)。

夏季, 该海域自温跃层所在深度至海底为东海北部底层冷水, 苏育嵩等(1989)曾对该水团的形成及其季节变化作了详尽分析。冷水的存在和发展伴随产生反时针的密度环流。另外, 冷水的东侧为西北向流动的黄海暖流, 西侧为流向东南的黄海沿岸流, 两者之间的切变效应以及反时针密度环流的存在是这里形成气旋型冷涡的主要原因。

1980 年 7 月 2—6 日, 中国科学院海洋研究所在东海北部冷涡附近海区布放了浮标阵(I, II, III, IV 站), 进行了同步测流, 同时在 A, III, IV 站进行了温、盐度连续观测; 随后于 7 月 6—23 日又做了大面积水文观测。作者引用上述资料进一步分析研究了该海区

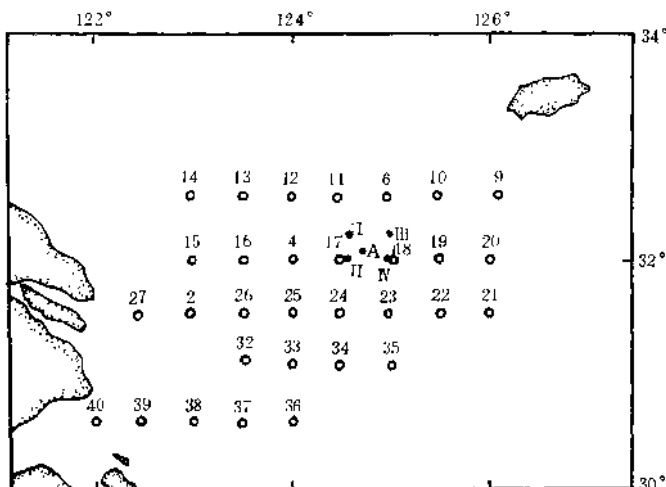


图 1 冷涡及其附近海域调查站位
○水文测站; ●锚定浮标测流站; A, III, IV 站为温、盐度连续观测站

* 中国科学院海洋研究所调查研究报告第 2499 号。

本课题为国家自然科学基金资助项目, 49176254 号。

收稿日期: 1994 年 11 月 3 日。

温、盐度分布特征及水团、海流结构，并重点讨论了冷涡附近海区的涡动混合问题，这对进一步揭示该典型海区的温、盐度逆转现象具有学术意义。调查站位如图 1 所示。

一、冷涡及其附近海域的温、盐度分布特征

1. 温度大面积分布特征 调查海域按上层温度分布特点可以划分为三个区：(1) 本调查海域的东北部，即冷涡所在中心海区，其温度值较稳定(约为 23—24℃)，该海区属黄海混合水范围。这里是冬季黄海沿岸水、东海混合水以及南黄海中部南侵水共同混合形成，并于春、夏季上层增温的中盐暖水。(2) 冷涡以南和西南海域，是长江冲淡水和台湾暖流水交汇区。长江口外温度自北向南增高，台湾暖流水温度分布自西南向东北呈舌形伸展，等温线的温度值由高(28℃)逐渐变低(25℃)。台湾暖流自台湾东北部以高盐暖水舌

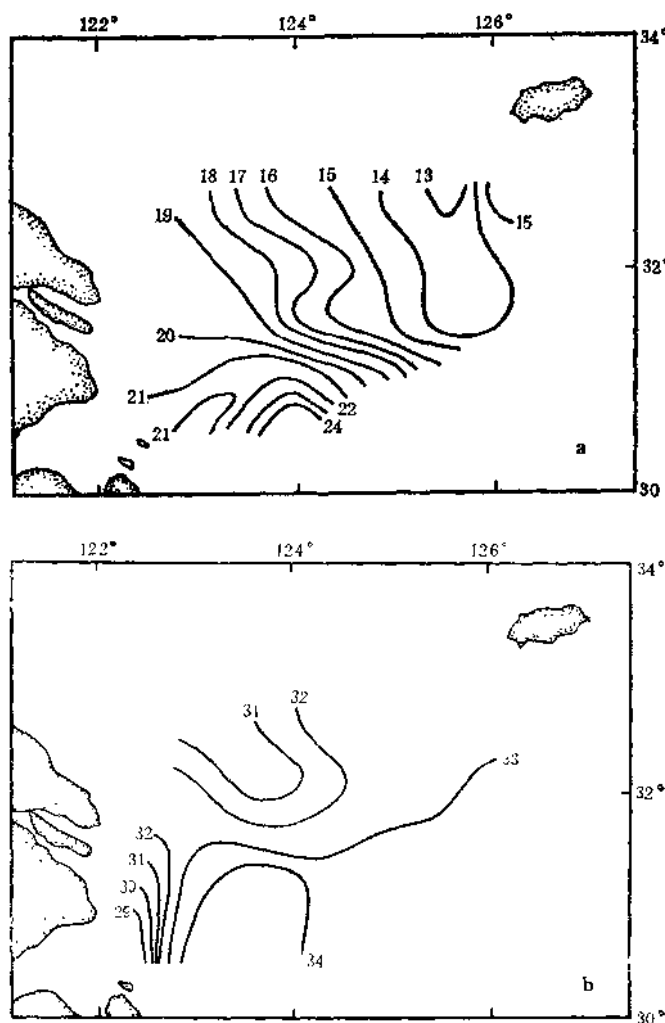


图 2 冷涡及其附近海域的温、盐度大面积分布(20m 层)

a. 温度分布(℃); b. 盐度分布

态势大体沿 123°E 向北流动，到达长江口以南海域有一部分水转向东北，上述的温度舌形分布即代表这一部分海水；而台湾暖流主支仍继续向北达 31°N 。（3）冷涡西部，即调查海域西北部，是以 $21\text{--}23^{\circ}\text{C}$ 等温线为中心的相对低温海区，并且是夏季长江口东北经常出现气旋型涡旋的海域（Pu Yongxiu, 1982），黄海沿岸流呈东南方向在该海区流动。在 10m 和 $15\text{--}20\text{m}$ 深度上，调查海域北部有一低温水舌自西北向东南方向伸展，随着深度的增加，冷水舌的中心位置向东移动，且低温舌轴逐渐转向南北向，在 15m 深度上，冷中心位于 $32^{\circ}\text{--}32^{\circ}30'\text{N}, 125^{\circ}\text{E}$ ；在 20m 深度上，冷中心位于 $32^{\circ}\text{--}32^{\circ}30'\text{N}, 125^{\circ}30'\text{E}$ ，冷水舌周围温度为 14°C ，这是东海北部底层冷水（图 2）。在 1963—1977 年的 15 年间，东海北部底层冷水的中心位置（即冷涡中心位置）约在 $32^{\circ}\text{--}32^{\circ}30'\text{N}, 125^{\circ}30'\text{--}126^{\circ}30'\text{E}$ 之间变动（蓝淑芳等，1984），本次调查的冷涡中心位置亦在此范围内。

2. 盐度大面积分布特征 调查海域上层的东北部，即冷涡所在海域上层，属黄海混合水团，盐度值为 $30\text{--}32$ 。盐度值随深度的增加而增加， 20m 层盐度值达 $32.4\text{--}33$ ，这是具有中等盐度特征的东海北部底层冷水（图 2b）。在调查海域南半部，由于长江、钱塘江强大径流量的入海，在此形成大范围低盐冲淡水区，其上层盐度值为 $16\text{--}28$ ，使南来的高温、高盐的台湾暖流水受到影响。随着深度的增加，长江口和杭州湾口外低盐的冲淡水区缩小，而自西南向东北伸展的台湾暖流高盐水舌增强，盐度值高达 34 以上。调查海域西北部，盐度值介于上述两海区之间， 10m 层以下是一个自西北向东南、等盐线为 $31\text{--}32$ 的盐水舌，这是黄海沿岸水沿东南方向向东海输送的相对低盐海水。

综上所述，夏季冷涡所在海区上层海水属黄海混合水，具有中盐暖水性质；下层为具有低温、中盐性质的东海北部底层冷水。冷涡以南和西南为台湾暖流水和长江冲淡水交汇区，上层受长江冲淡水影响，台湾暖流水势力较弱，但其随深度增加而增强，具有高温、高盐特征。调查海域西北部为黄海沿岸水。

二、冷涡及其附近海域的水团

为进一步分析冷涡及其附近海域的水团，作者计算了冷涡所在海域 3 个连续站的动力学参数——Brunt-Väisälä 频率，即静态稳定性频率（顾传庆等，1985）。连续站的观测时间分别为：A 站为 7 月 2 日 20 时—3 日 4 时，III 站为 7 月 3 日 12—20 时，IV 站为 7 月 4 日 4—14 时，观测时间间隔为 2 小时左右（III, IV 两站为浮标阵中测站）。3 个测站各时刻的 Brunt-Väisälä 频率平方值（以 N^2 表示，未乘以重力加速度值）随深度的变化均出现一个极大值，极值所在深度多在 7.5m ，个别在 12.5m 深度上（图 3）。

作者用 Brunt-Väisälä 频率平方极大值的个数加 1 判断海水垂向结构的水团个数，故可以认为，夏季冷涡及其附近海域的水团应该有两个，一个是受太阳辐射影响而增温的上层水，即黄海混合水；另一个是尚未明显增温的下层固有水，即东海北部底层冷水，这两个叠置水团的边界多在 7.5m 层附近，有时边界深度可达 12.5m 。蓝淑芳等（1984）认为，东海北部底层冷水和上界水的交界面深度在 15m 附近，由此可推断上述 3 个测站所处位置不在东海北部底层冷水中心，而位于冷涡的西南侧。

从图 3 还可看出，观测期间 III 站 Brunt-Väisälä 频率平方极大值所在深度具有周日